

**ΘΕΩΡΙΑ ΤΩΝ ΗΜΙΑΓΩΓΩΝ  
ΔΕΥΤΕΡΗ ΕΝΟΤΗΤΑ  
ΟΜΟΓΕΝΕΙΣ ΗΜΙΑΓΩΓΟΙ  
ΦΑΙΝΟΜΕΝΑ ΜΕΤΑΦΟΡΑΣ**

- 1. Μηχανισμοί σκέδασης των φορέων (ηλεκτρόνια-οπές)**
- 2. Ηλεκτρική Αγωγιμότητα**
- 3. Ολίσθηση φορέων (ρεύμα ολίσθησης)**
- 4. Διάχυση φορέων (ρεύμα διάχυσης)**

**Ειδικότερα, θα αναπτύξουμε**

- Πως συμπεριφέρονται τα ηλεκτρόνια και οι οπές υπό την επίδραση ηλεκτρικού πεδίου
- Ποιοι μηχανισμοί είναι υπεύθυνοι για τη ροή ηλεκτρικού ρεύματος στους ημιαγωγούς
- Πως συμπεριφέρονται τα ηλεκτρόνια και οι οπές αν η συγκέντρωσή τους δεν είναι ομοιόμορφη, δηλαδή αν υπάρχει κλίση στη συγκέντρωσή τους

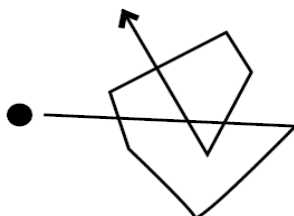
## Δ. ΓΚΙΡΓΚΙΝΟΥΔΗ

### 1. Θερμική κίνηση φορέων

Σε θερμική ισορροπία οι φορείς υφίστανται:

- σκεδάσεις (κρούσεις) με τα άτομα πυριτίου που ταλαντώνονται
- Ηλεκτροστατική δράση με τα φορτισμένα άτομα προσμίξεων (θετικά ιόντα δοτών και αρνητικά ιόντα αποδεκτών)
- Σκέδαση με τις πλεγματικές ατέλειες

Χαρακτηριστική σταθερά χρόνου της θερμικής κίνησης είναι ο μέσος ελεύθερος χρόνος μεταξύ δύο διαδοχικών σκεδάσεων  $\equiv \tau(s)$



Τυχαία θερμική κίνηση ηλεκτρονίου

Μεταξύ των σκεδάσεων οι φορείς αποκτούν ταχύτητα  $v_{th} \equiv$  θερμική ταχύτητα [cm/s]

(θερμική ενέργεια ανά βαθμός ελευθερίας  $1/2kT$ , τρείς βαθμοί ελευθερίας  $(x,y,z) \Rightarrow$

$$\frac{1}{2}m^*v_{th}^2 = \frac{3}{2}kT \Rightarrow v_{th} = \left(\frac{3kT}{m^*}\right)^{1/2}$$

Χαρακτηριστικό μήκος κίνησης η μέση ελεύθερη διαδρομή  $\lambda$  [cm]

$$\lambda = v_{th}\tau$$

Για το Si στους 300K :  $\tau_e \sim 10^{-12}-10^{-13}s$  ( $\ll 1\text{ps}$ ),  $v_{th} \sim 10^7 \text{ cm/s}$ ,  $\Rightarrow \lambda \sim 10-100 \text{ nm}$

### 2. Ολίσθηση φορέων

Εφαρμόζεται ηλεκτρικό πεδίο  $E$  [V/cm]

$\Rightarrow$  ασκείται δύναμη στους φορείς

$$F = \pm qE \quad (-\text{ για τα ηλεκτρόνια και } +\text{ για τις οπές})$$



Κίνηση ηλεκτρονίου υπό την επίδραση ηλεκτρικού πεδίου

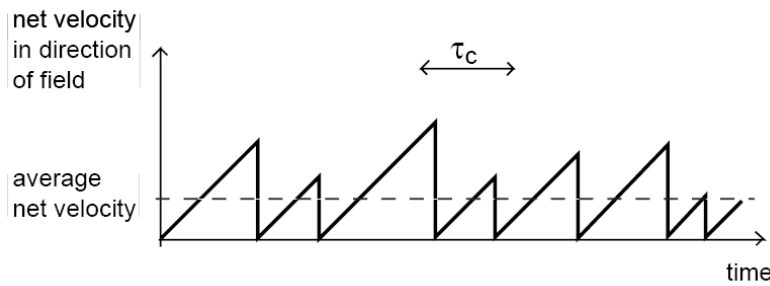
Μεταξύ των σκεδάσεων, οι φορείς επιταχύνονται στην κατεύθυνση του πεδίου

## Δ. ΓΚΙΡΓΚΙΝΟΥΔΗ

$$v(t) = at = -\frac{qE}{m_e} t \quad \text{για τα ηλεκτρόνια}$$

$$v(t) = at = \frac{qE}{m_h} t \quad \text{για τις οπές}$$

Η ταχύτητα αλλάζει κατά μέσο όρο κάθε  $\tau_c$  όπως φαίνεται στο παρακάτω σχήμα



Οπότε η μέση καθαρή ταχύτητα (οριακή) στην κατεύθυνση του πεδίου είναι η ταχύτητα ολίσθησης  $v_d$  [cm/s]

$$\bar{v} = v_d = \pm \frac{qE}{2m_{e,h}} \tau_c = \pm \frac{q\tau_c}{2m_{e,h}} E$$

holes

electrons

όπου  $m^*_{e,h}$  είναι η ενεργός μάζα των ηλεκτρονίων, οπών.

**Ορίζουμε την ευκινησία των φορέων ( $\text{cm}^2/\text{V.s}$ ) ως**

$$\mu_e = \frac{q\tau_e}{m_e^*} \quad \text{και} \quad \mu_h = \frac{q\tau_h}{m_h^*} (\text{cm}^2 \text{V}^{-1} \text{s}^{-1})$$

Η ευκινησία είναι μια θετική ποσότητα για τα ηλεκτρόνια-οπές, οι κατευθυνόμενες ταχύτητες έχουν αντίθετα πρόσημα:

$$v_e = -\mu_e E \quad \text{για τα ηλεκτρόνια} \quad \text{και} \quad v_h = \mu_h E \quad \text{για τις οπές}$$

Το αρνητικό πρόσημο εκφράζει το γεγονός ότι η διεύθυνση της ταχύτητας των ηλεκτρονίων είναι αντίθετη από εκείνη του ηλεκτρικού πεδίου

## Δ. ΓΚΙΡΓΚΙΝΟΥΔΗ

Τιμές ενεργού μάζας ηλεκτρονίων και οπών για το Γερμάνιο, Πυρίτιο, Αρσενιούχο Γάλλιο

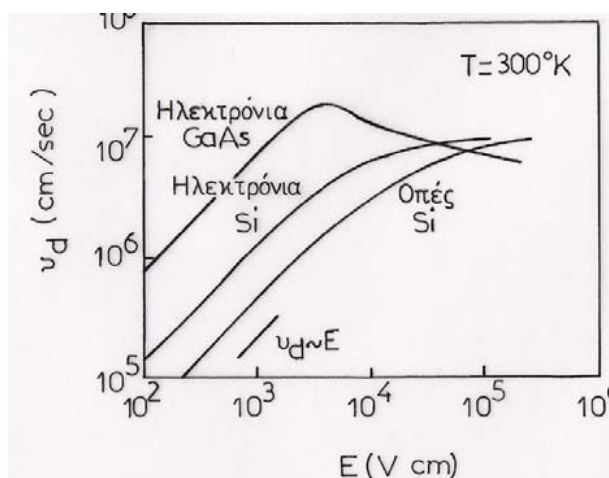
| φορέας     | σύμβολο                   | Γερμάνιο | Πυρίτιο | Αρσενιούχο-Γάλλιο |
|------------|---------------------------|----------|---------|-------------------|
| ηλεκτρόνια | $m_e^{*,\text{cond}}/m_0$ | 0.12     | 0.26    | 0.067             |
| οπές       | $m_h^{*,\text{cond}}/m_0$ | 0.21     | 0.386   | 0.34              |

$m_0 = 9.11 \times 10^{-31}$  kg είναι η μάζα του ελεύθερου ηλεκτρονίου στο κενό.

(Οι τιμές της ενεργού μάζας των ηλεκτρονίων είναι μικρότερες από αυτές των οπών, γιατί??)

### Τα πιο σημαντικά είναι :

- Σε χαμηλής και μέτριας έντασης  $|E|$  η ευκινησία είναι σταθερή, οπότε η ταχύτητα ολίσθησης είναι ανάλογη του πεδίου
- ενώ σε υψηλά ηλεκτρικά πεδία η ταχύτητα ολίσθησης παρουσιάζει κορεσμό



Η μεταβολή της  $u_d$  συναρτήσει του  $E$  για το Si και GaAs (από πειραματικές μετρήσεις)

Προσοχή: Στο GaAs η ελάττωση της  $u_d$  όταν  $E > 3 \times 10^3$  V/m οφείλεται στη μεταφορά των ηλεκτρονίων από την κοιλάδα Γ στην κοιλάδα L της ταινίας αγωγιμότητας όπου η ενεργός μάζα των ηλεκτρονίων στην κοιλάδα αυτή είναι μεγαλύτερη από εκείνη στην κοιλάδα Γ (γιατί?), οι κοιλάδες Γ και L φαίνονται στη σελίδα 5 στις διαφάνειες στην πρώτη ενότητα).

Η ευκινησία είναι ένα μέτρο του πόσο εύκολα ολισθαίνουν οι φορείς  
Εξαρτάται από τις παραμέτρους:

- i)  $\tau_{e,h}$  (διαδικασίες σκέδασης των φορέων)
- ii)  $m^*$  (Δομή ενεργειακών ταινιών)

## Δ. ΓΚΙΡΓΚΙΝΟΥΔΗ

- *Αν τ  $\tau$  ↑, μεγαλύτερος χρόνος μεταξύ σκεδάσεων  $\rightarrow \mu$  ↑*
- *Αν  $m * \downarrow$ , ελαφρύτερα μάζα φορέων  $\rightarrow \mu$  ↑*

Ευκινησία των ηλεκτρονίων και των οπών σε διάφορους ημιαγωγούς στη θερμοκρασία δωματίου (σε μονάδες  $m^2 \cdot V^{-1} \cdot s^{-1}$ ).

| Υλικό     | Ηλεκτρόνια | Οπές  | Υλικό     | Ηλεκτρόνια | Οπές  |
|-----------|------------|-------|-----------|------------|-------|
| Αδάμαντας | 0,180      | 0,120 | GaSb      | 0,400      | 0,140 |
| Si        | 0,130      | 0,050 | PbS       | 0,060      | 0,055 |
| Ge        | 0,390      | 0,190 | PbSe      | 0,102      | 0,093 |
| InAs      | 3,300      | 0,046 | AgCl      | 0,005      | -     |
| InP       | 0,460      | 0,015 | KBr(100K) | 0,010      | -     |
| GaAs      | 0,880      | 0,040 | SiC       | 0,010      | 0,005 |

Γιατί τα ηλεκτρόνια είναι πιο ευκίνητα από τις οπές?

Η τελική ταχύτητα των ολοκληρωμένων κυκλωμάτων εξαρτάται από την ταχύτητα του φορέα. Η μικρή ενεργός μάζα του Αρσενιούχου Γαλλίου είναι ο βασικός λόγος που το υλικό αυτό και τα κράματα αυτού χρησιμοποιούνται αντί του πυριτίου σε εφαρμογές μεγάλου εύρους ζώνης (high-bandwidth), όπως η κυψελιδωτή τηλεφωνία.

### 3. Μηχανισμοί σκέδασης των φορέων στους ημιαγωγούς

Οι κύριοι μηχανισμοί σκέδασης είναι η σκέδαση από :i) τις θερμικές ταλαντώσεις του πλέγματος (lattice scattering), ii) τις ιονισμένες προσμίξεις (impurity scattering)

**i) Η σκέδαση από το πλέγμα**, οφείλεται στην αλληλεπίδραση μεταξύ του φορέα και των θερμικών ταλαντώσεων των ατόμων του πλέγματος (φωνόνια) για  $T > 0K$ . Ο μηχανισμός αυτός είναι ισχυρός σε υψηλές θερμοκρασίες. Ο μέσος ελεύθερος χρόνος είναι : $\tau_l = AT^{-3/2}$ . Η συνιστώσα στην ευκινησία συμβολίζεται με  $\mu_l$ , μειώνεται αυξανομένης της θερμοκρασίας:

$$\mu_l = bT^{-3/2}$$

**ii) Η σκέδαση από τις ιονισμένες προσμίξεις**, οφείλεται στην αλληλεπίδραση Coulomb μεταξύ του φορέα και των ιονισμένων προσμίξεων (θετικά

## Δ. ΓΚΙΡΓΚΙΝΟΥΔΗ

φορτισμένων δοτών  $N_D$  ή αρνητικά φορτισμένων αποδεκτών  $N_A$ ). Ο μέσος ελεύθερος χρόνος είναι :  $\tau_i = BT^{3/2}$ . Η συνιστώσα στην ευκινησία συμβολίζεται με  $\mu_i$ , αυξάνεται αυξανομένης της θερμοκρασίας:

$$\mu_i = a \frac{T^{3/2}}{N_I} \quad \text{όπου } N_I = N_D + N_A$$

### Η συνολική ευκινησία θα δίνεται από τη σχέση

$$\frac{1}{\mu_t} = \frac{1}{\mu_e} + \frac{1}{\mu_h}$$

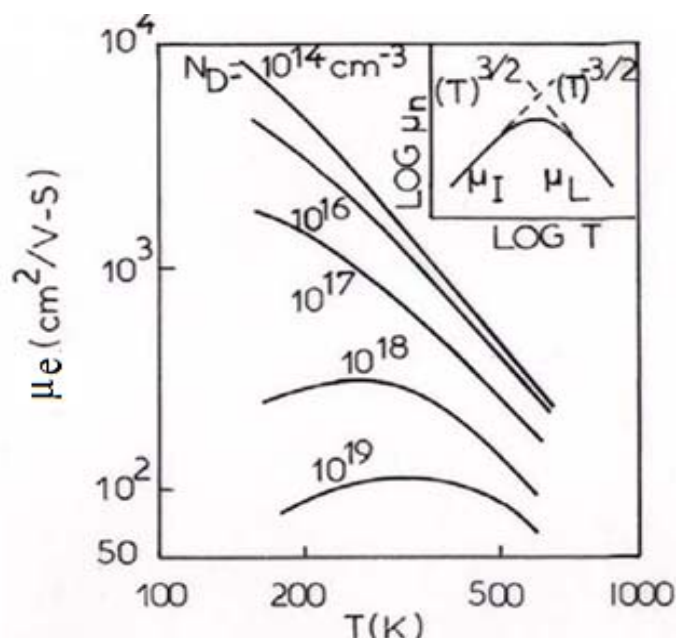
Και η εξάρτησή της από τη θερμοκρασία είναι:

$$\frac{1}{\mu_t} = bT^{3/2} + a'T^{-3/2}$$

Σε ιδανικό ενδογενή ημιαγωγό (δίχως ατέλειες) τα  $\mu_e$  και  $\mu_h$  καθορίζονται μόνο από τις σκεδάσεις των φορέων με τα φωνόνια του κρυσταλλικού υλικού

### Επίδραση της θερμοκρασίας και της συγκέντρωσης προσμίξεων στην ευκινησία

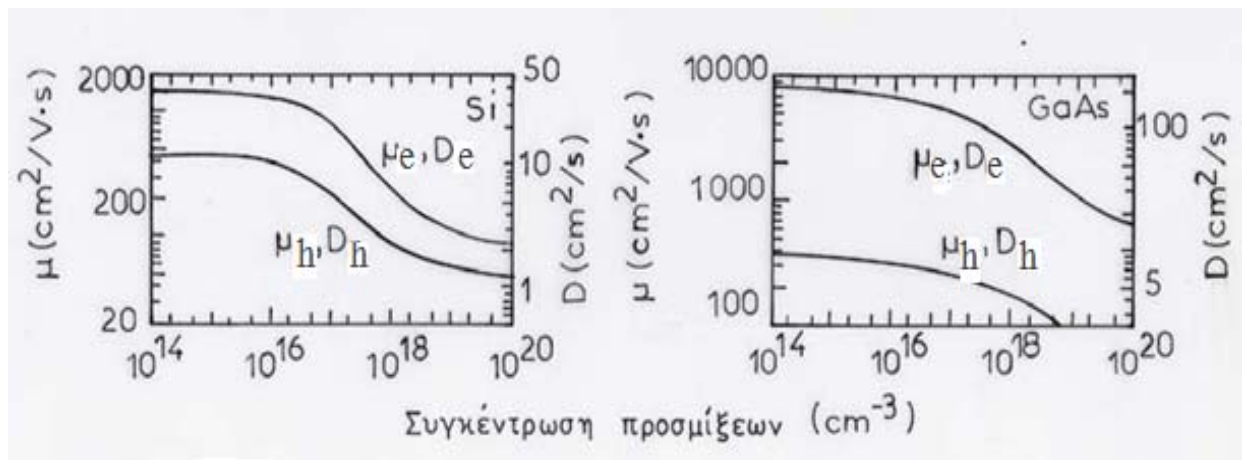
Η εξάρτηση της ευκινησίας των ηλεκτρονίων από τη θερμοκρασία στο Si για διαφορετικές συγκεντρώσεις δοτών απεικονίζεται στο παρακάτω σχήμα :



Θερμοκρασιακή εξάρτηση της ευκινησίας των ηλεκτρονίων στο Si για διαφορετικές συγκεντρώσεις προσμίξεων δοτών.

## Δ. ΓΚΙΡΓΚΙΝΟΥΔΗ

- Στις χαμηλές θερμοκρασίες επικρατεί η σκέδαση από ιονισμένες προσμίξεις
- Στις ψηλές θερμοκρασίες επικρατεί η σκέδαση από φωνόνια επειδή αυξάνει το πλάτος των πλεγματικών ταλαντώσεων



Εξάρτηση της ευκινησίας και του συντελεστή διάχυσης των ηλεκτρονίων ( $\mu_e$ ,  $D_e$ ) και οπών ( $\mu_h$ ,  $D_h$ ) από τη συγκέντρωση των προσμίξεων (ολικός αριθμός προσμίξεων στη μονάδα όγκου) στο Si και GaAs (300K). Το σχήμα χρησιμοποιείται για τον προσδιορισμό των ευκινησιών και των συντελεστών διάχυσης.

- η ευκινησία του GaAs είναι μεγαλύτερη του Si (γιατί?)
- ο συντελεστής διάχυσης έχει παρόμοια εξάρτηση με την ευκινησία από τη συγκέντρωση προσμίξεων

#### 4. Ρεύμα αγωγής

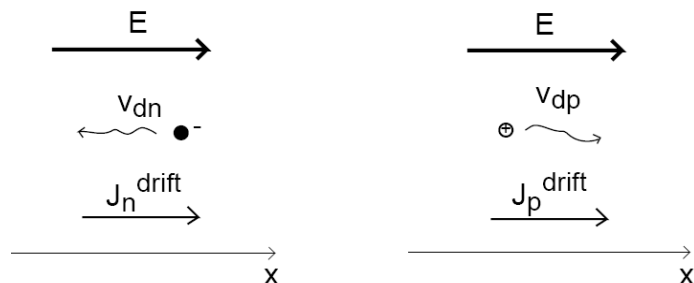
Η μεταφορά των ελεύθερων φορέων (ηλεκτρονίων και οπών) σε έναν ομοιγενή ημιαγωγό (δεν υπάρχει κλίση συγκέντρωσης προσμίξεων) κάτω από την επίδραση ενός εξωτερικού ηλεκτρικού πεδίου  $E$  παράγει ένα ηλεκτρικό ρεύμα το οποίο λέγεται ρεύμα αγωγής ή ρεύμα ολίσθησης

**Το ρεύμα αγωγής ή ρεύμα ολίσθησης των ηλεκτρονίων (συμβατικό), ( $I_e$  ή  $I_n$ )**

$$I_e = -qAnv_d \\ = qAn\mu_e E$$

**Το ρεύμα ολίσθησης των οπών  $I_h$  ή  $I_p$  (ομόρροπο του  $I_e$  ή  $I_n$ )**

$$I_h = qApv_d = qAp\mu_h E$$



$$J_{o\lambda} = J_e + J_h = q(n\mu_e + p\mu_h)E$$

(όπου  $n$  και  $p$  είναι οι συγκεντρώσεις των ηλεκτρονίων και των οπών)

Ο νόμος του Οϊμ στη γενική μορφή είναι:

$$J = \sigma E = (1/\rho) E$$

όπου  $\sigma$  είναι η ειδική αγωγιμότητα και  $\rho$  η ειδική αντίσταση. Οπότε, η ειδική αγωγιμότητα μπορεί να γραφτεί ως εξής:

## Δ. ΓΚΙΡΓΚΙΝΟΥΔΗ

$$\sigma = \frac{1}{\rho} = q(n\mu_e + p\mu_h)$$

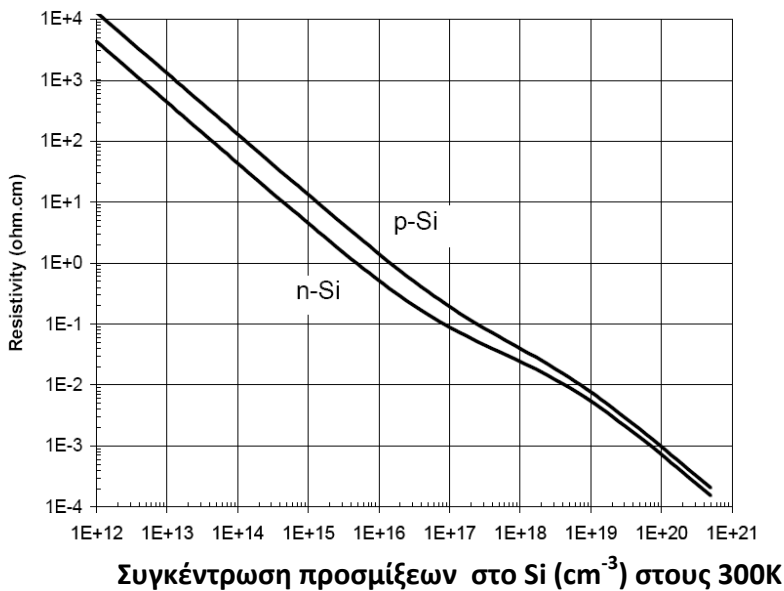
Η ειδική αντίσταση συνήθως χρησιμοποιείται για να προσδιορίσουμε το επίπεδο ντοπαρίσματος (βλέπε παρακάτω σχήμα) στους ημιαγωγούς:

- Για ημιαγωγό τύπου n, για  $N_D \gg n_i$  ( $n_i$  είναι η ενδογενής συγκέντρωση)

$$\rho_n = \frac{1}{qN_D\mu_e}$$

- Για ημιαγωγό τύπου p, για  $N_A \gg n_i$

$$\rho_p = \frac{1}{qN_A\mu_h}$$



### Υπολογιστικό παράδειγμα

- Si με  $N_D = 3 \times 10^{16} \text{ cm}^{-3}$  στους 300K:

$$\mu_e \sim 1000 \text{ cm}^2 V^{-1} s^{-1}, \quad \rho_n = 0.21 \Omega \cdot \text{cm}$$

- Εφαρμόζουμε  $E = 1 \text{ kV/cm}$ :

$$|U_d| \sim 10^6 \text{ cm/s} \ll u_{th}, |J_{ndrift}| \sim 4.8 \times 10^3 \text{ A/cm}^2$$

- Χρόνος ολίσθησης για  $L = 0.1 \mu\text{m}$  :  $t_d = L/u_d = 10 \text{ ps}$  ( $\sim 16 \text{ Hz}$  fast)

## Δ. ΓΚΙΡΓΚΙΝΟΥΔΗ

### 5. Ειδική αγωγιμότητα και εξάρτηση από τη θερμοκρασία

Η σχέση που εκφράζει την αγωγιμότητα συναρτήσει των χαρακτηριστικών των φορέων είναι:

$$\sigma = \frac{q^2 n \tau_e}{m_e^*} + \frac{q^2 p \tau_h}{m_h^*}$$

Οι συγκεντρώσεις των φορέων,  $n$  και  $p$  εμφανίζουν έντονες μεταβολές με τη θερμοκρασία, ενώ τα  $\tau_e$  και  $\tau_h$  είναι ασθενείς συναρτήσεις της θερμοκρασίας

Σε έναν ενδογενή ημιαγωγό οι συγκεντρώσεις των ηλεκτρονίων και των οπών είναι ίσες,  $n=p=n_i$

$$\sigma_i = q n_i (\mu_e + \mu_h)$$

$$\text{Γνωρίζοντας ότι } n_i (m^{-3}) = 2 \left( \frac{kT}{2\pi\hbar^2} \right)^{3/2} \left( m_h^* m_e^* \right)^{3/4} \exp(-E_g / 2kT)$$

Η εξάρτηση της αγωγιμότητας από τη θερμοκρασία μπορεί να γραφτεί ως

$$\sigma = A \exp(-E_g / 2kT)$$

Από την οποία μπορούμε να προσδιορίσουμε πειραματικά το ενεργειακό χάσμα  $E_g$

Η ολίσθηση φορέων και η αγωγιμότητα στους εξωγενείς ημιαγωγούς κυριαρχούνται από τους φορείς πλειονότητας:

$$n - \text{τύπου} \quad \text{και} \quad n_0 >> p_0 \quad (n_0 >> n_i) \rightarrow \quad \sigma = q n_0 \mu_e$$

$$p - \text{τύπου} \quad \text{και} \quad p_0 >> n_0 \rightarrow \sigma = q p_0 \mu_h$$

(ο δείκτης μηδέν στα σύμβολα  $n$  και  $p$  δηλώνει κατάσταση ισορροπίας)

Ειδική αντίσταση στερεών στους 20°C ( $\Omega \text{cm}$ )

| υλικό | $\rho$ ( $\Omega \text{ cm}$ ) | υλικό    | $\rho$ ( $\Omega \text{ cm}$ ) |
|-------|--------------------------------|----------|--------------------------------|
| Ag    | $1.6 \times 10^{-8}$           | Ge       | 0.5                            |
| Cu    | $1.7 \times 10^{-8}$           | Si       | $3.0 \times 10^3$              |
| Fe    | $10 \times 10^{-8}$            | διαμάντι | $1 \times 10^{14}$             |

## Δ. ΓΚΙΡΓΚΙΝΟΥΔΗ

### 6. Ρεύμα διάχυσης

Όταν υπάρχει μια **κλίση στη συγκέντρωση των φορέων**, οι φορείς υπό την επίδραση των τυχαίων κρούσεων με τα φωνόνια (δονήσεις του κρυσταλλικού πλέγματος) τείνουν να ανακατανεμηθούν ώστε να εξουδετερώσουν την κλίση της συγκέντρωσης

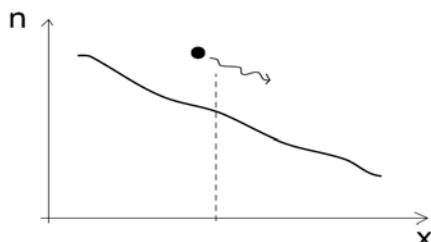
Η ροή των φορέων κάτω από συνθήκες κλίσης της συγκέντρωσής τους λέγεται **διάχυση των φορέων**

υπακούει στον πρώτο νόμο του Fick :  $F = -D \frac{dN}{dx}$ ,

D: ο συντελεστής διάχυσης, σε  $\text{cm}^2 \cdot \text{s}^{-1}$  ( $D = v_{th} \cdot l$ )

F: ροή των φορέων (αριθμός των φορέων που περνάει από τη μονάδα της επιφάνειας που είναι κάθετη στη ροή των φορέων στη μονάδα του χρόνου,  $\text{cm}^{-2} \text{s}^{-1}$ )

$$F_n = -D_e \frac{dn}{dx} \text{ για τα ηλεκτρόνια, } F_p = -D_h \frac{dp}{dx} \text{ για τις οπές}$$

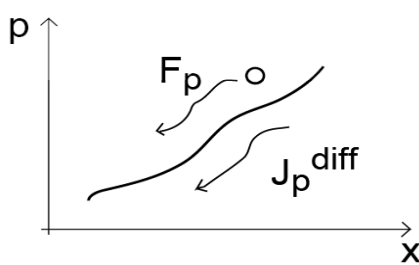
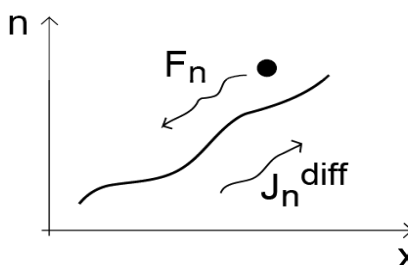


#### Ρεύμα διάχυσης ηλεκτρονίων

$$J_{eD} = q D_e \frac{dn}{dx}$$

#### Ρεύμα διάχυσης οπών

$$J_{hD} = -q D_h \frac{dp}{dx}$$



## 7. Σχέση του Einstein

---

Δίνει τη σχέση μεταξύ της ευκινησίας  $\mu$  και της σταθεράς διάχυσης  $D$

Από τις παρακάτω γνωστές εξισώσεις προκύπτει η σχέση του **Einstein**

$$\mu = \frac{q\tau}{m^*} \quad \text{και} \quad D = v_{th,x} J \Rightarrow \frac{D}{\mu} = \frac{v_{th,x} l}{q\tau} m^* = \frac{m^* v_{th,x}^2}{q}$$

$\frac{1}{2} m^* v_{th,x}^2 = \frac{kT}{2}$  θεώρημα ισοκατανομής για κίνηση στη διεύθυνση  $x$

$$\frac{D}{\mu} = \frac{kT}{q} \quad \text{εξίσωση του Einstein}$$

όπου  $kT/q$  είναι η θερμική τάση  $\approx 25\text{meV}$  στους 300K

Για τα ηλεκτρόνια

Για τις οπές

$$\mu_e = \frac{q \cdot D_e}{kT} \quad \mu_h = \frac{q \cdot D_h}{kT}$$

**Υπολογιστικό παράδειγμα για  $N_D=3 \times 10^{16} \text{cm}^{-3}$**

$$\mu_e = 1000 \text{cm}^2 \text{V}^{-1} \text{s}^{-1} \Rightarrow D_e = 25 \text{ cm}^2 \text{s}^{-1}$$

$$\mu_h = 400 \text{cm}^2 \text{V}^{-1} \text{s}^{-1} \Rightarrow D_h = 10 \text{cm}^2 \text{s}^{-1}$$

## 8. Συνολικό Ρεύμα

---

Στην περίπτωση ενός ημιαγωγού με φορείς τύπου  $n$  και φορείς τύπου  $p$  στο οποίο υπάρχει ταυτόχρονα βαθμίδα συγκέντρωσης και βαθμίδα δυναμικού , δηλ.

- i) Εξωτερικό ηλεκτρικό πεδίο  $E$
- ii) Ανομοιογενείς πυκνότητες φορέων  $n(x)$  ,  $p(x)$

Το συνολικό ρεύμα είναι  $J_{o\lambda} = J_n + J_p$  όπου :

## Δ. ΓΚΙΡΓΚΙΝΟΥΔΗ

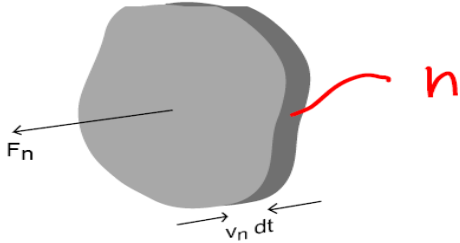
$$J_n = J_{n \text{ drift}} + J_{n \text{ diff}} \quad \text{και} \quad J_p = J_{p \text{ drift}} + J_{p \text{ diff}}$$

$$J_n = q \left[ n \mu_e E + D_e \frac{dn}{dx} \right] \quad J_p = q \left[ p \mu_h E - D_h \frac{dp}{dx} \right]$$

### 9. Γενικές σχέσεις που συνδέουν την ταχύτητα υ, ροή F και ρεύμα J

Στους ημιαγωγούς οι φορτισμένοι φορείς ηλεκτρικού ρεύματος (ηλεκτρόνια-οπές) κινούνται  $\Rightarrow$  ροή φορέων  $\Rightarrow$  ηλεκτρικό ρεύμα

Ροή των φορέων  $F$  (αριθμός των φορέων που περνάει από τη μονάδα της επιφάνειας που είναι κάθετη στη ροή των φορέων στη μονάδα του χρόνου,  $m^2 \cdot s^{-1}$ )



Σχέσεις που συνδέουν τη ροή με την ταχύτητα φορέων

$$F_n = nv_e \quad F_p = pv_h$$

Πυκνότητα ρεύματος το ποσό του φορτίου που περνάει από τη μονάδα της επιφάνειας που είναι κάθετη στη ροή των φορέων στη μονάδα του χρόνου,  $m^2 \cdot s^{-1}$ )

$$J_e = -qF_n = -qnv_e \quad \text{και} \quad J_h = qF_p = qpv_h$$

Ανεξάρτητα αν οι φορείς κινούνται λόγω πεδίου ή διάχυσης

Σημείωση: Ο δείκτης η παριστάνεται και με το σύμβολο e, για τα ηλεκτρόνια

Παρόμοια ο δείκτης ρ παριστάνεται και με το σύμβολο h, για τις οπές

## Δ. ΓΚΙΡΓΚΙΝΟΥΔΗ

### 10. Εφαρμογή εξωτερικού ηλεκτρικού πεδίου σε ομογενή ντοπαρισμένο ημιαγωγό

Εφαρμόζουμε διαφορά δυναμικού  $V$  ανάμεσα στα δύο άκρα ενός ημιαγωγού

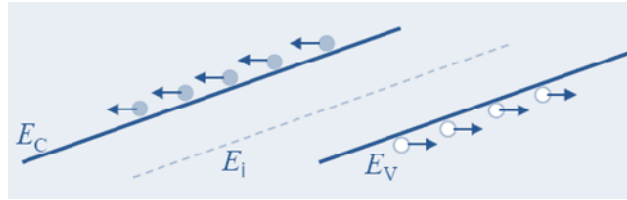
$$\varepsilon = -\frac{dV}{dx} = -\left(\frac{1}{q}\right)\left(\frac{dE}{dx}\right), \text{ όπου } E \text{ η ενέργεια των φορέων}$$

Ενέργεια των ηλεκτρονίων στον πυθμένα (άκρο) της ταινίας αγωγιμότητας =  $E_C$ ,

Ενέργεια των οπών στην κορυφή (άκρο) της ταινίας σθένους =  $E_V$

(Αν ένα ηλεκτρόνιο βρίσκεται (ενεργειακά) πάνω από την  $E_C$ , η επιπλέον ενέργεια μπορεί να είναι μόνο κινητική. Κατ' αναλογία, αν μια οπή βρίσκεται κάτω από την  $E_V$ , η επιπλέον ενέργεια μπορεί να είναι μόνο κινητική)

$$\text{Ενδογενής στάθμη Fermi: } E_i // E_V // E_C \Rightarrow \varepsilon = -\left(\frac{1}{q}\right)\left(\frac{dE_i}{dx}\right)$$



Διάγραμμα των ενεργειακών ταινιών σε έναν ημιαγωγό όταν εφαρμόζεται ένα εξωτερικό ηλεκτρικό πεδίο όπου φαίνεται η κίνηση των φορέων

$$\varepsilon = -\frac{d\psi}{dx} \text{ όπου } \psi = -\frac{E_i}{q}$$

το σύμβολο  $\psi$  παριστάνει το **ηλεκτροστατικό δυναμικό**. Κατ' αναλογία, ορίζουμε το **δυναμικό** του Fermi από τη σχέση  $\varphi = -\frac{E_F}{q}$ , οπότε οι συγκεντρώσεις των ηλεκτρονίων

και των οπών στην ταινία αγωγιμότητας και σθένους, αντίστοιχα, γράφονται με τη μορφή:

$$n = n_i \exp\left(\frac{E_F - E_i}{kT}\right) = n_i \exp\left(\frac{\psi - \varphi}{V_T}\right)$$

$$p = n_i \exp\left(\frac{E_i - E_F}{kT}\right) = n_i \exp\left(\frac{\varphi - \psi}{V_T}\right)$$

όπου  $V_T = \frac{kT}{q}$  Στους 300K τιμή της ποσότητας  $V_T$  είναι περίπου 0,026V.

## Δ. ΓΚΙΡΓΚΙΝΟΥΔΗ

### 12. Ανομοιογενής ημιαγωγός σε θερμοδυναμική ισορροπία: Εσωτερικό ηλεκτρικό πεδίο -Διαφορά δυναμικού

#### Εσωτερικό ηλεκτρικό πεδίο

Ανομοιογενής συγκέντρωση προσμίξεων σε ημιαγωγό έχει ως αποτέλεσμα την εμφάνιση εσωτερικού ηλεκτρικού πεδίου

$$\varepsilon = -\left(\frac{1}{q}\right)\left(\frac{dE_i}{dx}\right) = \frac{kT}{q} \frac{1}{n(x)} \frac{dn(x)}{dx}$$

όπου  $n(x) = n_i \exp\left(\frac{E_F - E_i}{kT}\right)$

Αν θεωρήσουμε  $n(x) = N_D(x)$  θα έχουμε:

$$\varepsilon = -\frac{kT}{q} \frac{1}{N_D(x)} \frac{dN_D(x)}{dx}$$

Το εσωτερικό αυτό ηλεκτρικό πεδίο θα επηρεάζει τη λειτουργία των διατάξεων

#### Διαφορά δυναμικού λόγω ανομοιογενούς συγκέντρωσης φορέων

Λόγω αλληλοαναίρεσης των ρευμάτων διάχυσης και ολίσθησης στην κατάσταση ισορροπίας ισχύει:

$$J = 0 \Rightarrow n \mu_e E = -D_e \frac{dn}{dx} \Rightarrow E = -\frac{D_e}{\mu_e} \frac{1}{n(x)} \frac{dn}{dx} = -\frac{kT}{q} \frac{1}{n(x)} \frac{dn}{dx} \Rightarrow$$
$$dV = \frac{kT}{q} \frac{dn(x)}{dx} \Rightarrow \int_{V_1}^{V_2} dV = \frac{kT}{q} \int_{n_1}^{n_2} \frac{dn(x)}{d(x)}$$

$$\Rightarrow V_2 - V_1 = \frac{kT}{q} \ln\left(\frac{n_2}{n_1}\right) = V_T \ln\left(\frac{n_2}{n_1}\right)$$

## Δ. ΓΚΙΡΓΚΙΝΟΥΔΗ

### 10. Ημιαγωγοί κάτω από συνθήκες μη-ισορροπίας

#### 10.1. Εγχυση φορέων

1. **Εισαγωγή πλεονάσματος φορέων**  $\Delta n = \Delta p$  (οπτικά ή ηλεκτρικά), οπότε ισχύει η συνθήκη  $n_p > n_i^2$ . Για παράδειγμα σε ημιαγωγό τύπου η έχουμε ότι:

Συγκέντρωση φορέων πλειονότητας  $n_n = n_{n0} + \Delta n$

Συγκέντρωση φορέων μειονότητας  $p_n = p_{n0} + \Delta p$

ο δείκτης μηδέν δηλώνει κατάσταση ισορροπίας, πριν την επίδραση εξωτερικής διέγερσης)

Διακρίνουμε δυο περιπτώσεις (πίνακας):

- ασθενής έγχυση πλεονάσματος φορέων,  $\Delta n = \Delta p \ll N_{A, D}$
- ισχυρή έγχυση πλεονάσματος φορέων,  $\Delta n = \Delta p \gg N_{A, D}$

Παράδειγμα Πυρίτιο τύπου η με συγκέντρωση δοτών  $N_D = 2,25 \times 10^{21} (\text{m}^{-3})$  ολικός ιονισμός

| Συγκέντρωση φορέων ( $\text{m}^{-3}$ )  | Κατάσταση της έγχυσης φορέων |                       |                        |
|---|------------------------------|-----------------------|------------------------|
|   | Κατάσταση ισορροπίας         | Ασθενής έγχυση        | Ισχυρή έγχυση          |
| Περίσσεια φορέων, $\Delta n = \Delta p$ | 0                            | $1 \times 10^{19}$    | $1 \times 10^{22}$     |
| Φορείς πλειοψηφίας, $n_n$               | $1,25 \times 10^{21}$        | $2,26 \times 10^{21}$ | $1,225 \times 10^{22}$ |
| Φορείς μειοψηφίας, $P_n$                | $1 \times 10^{11}$           | $1 \times 10^{19}$    | $1 \times 10^{22}$     |

και 2) όταν ισχύει η συνθήκη  $n_p < n_i^2$ , οπότε μιλούμε για εξαγωγή ή άντληση φορέων από τον ημιαγωγό

(Υπενθύμιση: Σε θερμοδυναμική ισορροπία ισχύει  $n.p = n_i^2$ )

#### 10.2 Γένεση- Επανασύνδεση φορέων

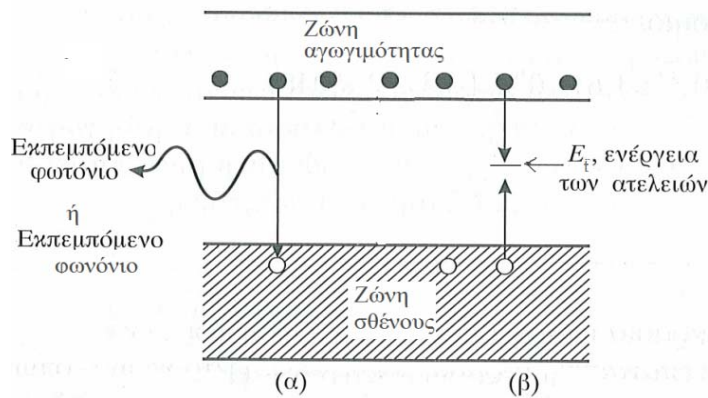
**Γένεση φορέων:** Η διέγερση ενός ηλεκτρονίου από την ταινία σθένους στην ταινία αγωγιμότητας αφήνει μια οπή στην ταινία σθένους και έτσι παράγεται ένα ζευγάρι ηλεκτρονίου - οπής. (G: ρυθμός γένεσης, φορείς / $\text{cm}^3 \cdot \text{s}$ ). Μπορεί ανάλογα με το αίτιο να είναι: 1) θερμική, 2) οπτική, 3) ηλεκτρική

**Επανασύνδεση (ή Ανασύζευξη) φορέων** όταν ένα ηλεκτρόνιο στην ταινία αγωγιμότητας μεταβαίνει σε μία κενή κατάσταση στην ταινία σθένους, οπότε εξαφανίζεται ένα ζευγάρι ηλεκτρονίου - οπής. (R: ρυθμός επανασύνδεσης, φορείς / $\text{cm}^3 \cdot \text{s}$ ). Μπορεί να είναι :

## Δ. ΓΚΙΡΓΚΙΝΟΥΔΗ

α) άμεση ή αλλιώς διαταινιακή (band to band recombination): ένα ηλεκτρόνιο στην ταινία αγωγιμότητας κάνει μία μετάβαση άμεσα στην ταινία σθένους για να επανασυνδεθεί με μία οπή. Συμβαίνει σε ημιαγωγό με άμεσο χάσμα (GaAs) και η επιπλέον ενέργεια του ηλεκτρονίου μετατρέπεται σε ενέργεια φωτονίου  $h\nu=E_g$  (**ακτινοβολούσα ανασύζευξη**).

β)έμμεση (Shockley-Read-Hall (SRH) recombination). Η επανασύνδεση ηλεκτρονίου-οπής πραγματοποιείται μέσω εντοπισμένων ενεργειακών καταστάσεων  $E_t$  (παγίδα) μέσα στο ενεργειακό χάσμα, οι οποίες συνδέονται με τις καταστάσεις ατελειών του πλέγματος. Είναι συνήθης στους ημιαγωγούς με έμμεσο χάσμα (πυρίτιο, γερμάνιο) και η επιπλέον ενέργεια του ηλεκτρονίου μετατρέπεται σε ταλαντώσεις πλέγματος («εκπέμπει» φωνόνια στο κρυσταλλικό πλέγμα με τη μορφή παραγωγής θερμότητας). Αυτό υποδηλώνει μια **μη-ακτινοβολούσα ανασύζευξη**.



### 10.3 Χρόνος ζωής των φορέων μειονότητας

π.χ. ηλεκτρονίου  $\tau_n$  (ή  $\tau_e$ ) ή οπής  $\tau_p$  (ή  $\tau_h$ ) ονομάζεται ο μέσος χρόνος πριν την επανασύνδεση του φορέα, δηλαδή ο μέσος χρόνος κατά τον οποίο το ηλεκτρόνιο (η οπή) παραμένει στην ταινία αγωγιμότητας (ή σθένους).

Η ποσότητα  $1/\tau$  ισούται με την πιθανότητα ανά μονάδα χρόνου που έχει ένας φορέας μειονότητας να επανασυνδεθεί με έναν φορέα πλειονότητας.

#### A) άμεση ή διαταινιακή (band to band recombination)

Η καθαρή ταχύτητα επανασύνδεσης είναι

$$U = R - G_{th} = R - R_{th} = \alpha \bullet n_{no} \bullet (p_n - p_{no})$$

Επομένως ο χρόνος ζωής του πλεονάσματος των φορέων μειονότητας (οπές σε ημιαγωγό), που ορίζεται προσεγγιστικά ως

$$U = \frac{p_n - p_{no}}{\tau_p}$$

## Δ. ΓΚΙΡΓΚΙΝΟΥΔΗ

$$\text{δίδεται από τη σχέση} \quad \tau_p = \frac{1}{\alpha \cdot n_{no}}$$

**β)έμμεση επανασύνδεση ηλεκτρονίου-οπής (Shockley-Read-Hall, SRH)**

Η καθαρή ταχύτητα επανασύνδεσης είναι

$$U_{SHR} = R_{th} - G_{th}$$

$$U_{SHR} = \frac{p_n - n_t^2}{p + n + 2n_t \cosh(\frac{E_i - E_t}{kT})} N_t v_{th} \sigma$$

Όπου  $v_{th}$  είναι η θερμική ταχύτητα,  $E_t$  είναι η εντοπισμένη ενεργειακή κατάσταση (που ονομάζεται παγίδα) μέσα στο ενεργειακό χάσμα (βλέπε προηγούμενο σχήμα),  $N_t$  είναι η συγκέντρωση των καταστάσεων αυτών και σ είναι η ενεργός διατομή σύλληψης της παγίδας του φορέα.

Για  $n >> p$  η παραπάνω σχέση απλοποιείται σε

$$U_n = R_n - G_n = \frac{n_p - n_{p0}}{\tau_n}$$

Για  $p >> n$  παραπάνω σχέση απλοποιείται σε

$$U_p = R_p - G_p = \frac{E_n - P_{n0}}{\tau_p}$$

Όπου ο χρόνος ζωής των φορέων μειονότητας είναι

$$\tau_n = \tau_p = \frac{1}{N_t v_{th} \sigma}$$

## 10.4 Μήκος διάχυσης φορέων μειονότητας (L)

$L = \sqrt{D\tau}$  Όπου  $D$  είναι ο συντελεστής διάχυσης και  $\tau$  ο χρόνος ζωής του φορέα μειονότητας.

## Δ. ΓΚΙΡΓΚΙΝΟΥΔΗ

### 10.5.Ψευδοστάθμες του Fermi

Κάτω από συνθήκες θερμοδυναμικής ισορροπίας, οι συγκεντρώσεις των ηλεκτρονίων και των οπών καθορίζονται από τη θέση της στάθμης του Fermi με τη βοήθεια των εξισώσεων

$$n_0 = n_i \bullet \exp\left(\frac{E_F - E_i}{kT}\right) \quad \text{και} \quad p_0 = n_i \bullet \exp\left(\frac{E_i - E_F}{kT}\right)$$

δεν ισχύουν στην περίπτωση της κατάστασης μη-ισορροπίας, γιατί οι φορείς που έχουν εγχυθεί από την εξωτερική διαταραχή καθιστούν τη στάθμη του Fermi χωρίς νόημα. Κάτω από τις νέες αυτές συνθήκες (μη-ισορροπίας) μπορούμε να ορίσουμε δύο ποσότητες  $E_{Fn}$  και  $E_{Fp}$ , για ν' αντικαταστήσουν τη στάθμη του Fermi στις παραπάνω εξισώσεις έτσι ώστε οι πραγματικές συγκεντρώσεις τώρα των ηλεκτρονίων και των οπών στις αντίστοιχες ταινίες να δίδονται από τις εξής σχέσεις:

$$n = n_i \bullet \exp\left(\frac{E_{Fn} - E_i}{kT}\right) \quad \text{και} \quad p = n_i \bullet \exp\left(\frac{E_i - E_{Fp}}{kT}\right)$$

όπου οι  $E_{Fn}$  και  $E_{Fp}$  λέγονται **Ψευδοστάθμες του Fermi** ή **στάθμες Imref** (αναγραμματισμός της λέξης Fermi) για τα ηλεκτρόνια και τις οπές, αντίστοιχα, και  $\phi_n$  και  $\phi_p$  είναι τα αντίστοιχα **Ψευδοδυναμικά του Fermi**